

# 电 动 力 学

胡 宁 著

人 民 教 育 出 版 社

53.64  
391

# 电 动 力 学

胡 宁 著

人 民 教 育 出 版 社



本书原系著者前在北京大学物理系讲授电动力学时所用的讲义，1957年曾由高等教育出版社以“电动力学讲义”为书名出版。现在这本“电动力学”是根据“电动力学讲义”，校正了印刷上的一些错漏和原文中一些疏忽不妥的地方，并修改补充了其中若干章节（如§4，§17，§18，§24a，§32，§48等），对其中按现行教学大纲学生可以不读的某些章节，著者也在目录上有关章节前用\*号标出。全书共分七章，阐述了经典电动力学（包括电子论）和相对论，可作为高等学校电动力学的教学参考书。

## 电 动 力 学

胡 宁 著

北京市书刊出版业营业许可证出字第2号

人民教育出版社出版（北京景山东街）

人民教育印刷厂印装

新华书店北京发行所发行

各地新华书店经售

统一书号K15010·1119 开本 850×1168  $1/32$  印张  $9\frac{1}{2}$

字数 223,000 印数 6,001—9,200 定价(6) 0.90

1963年10月第1版 1964年9月北京第2次印刷

# 目 录

<b>第一章 电磁现象的普遍定律</b> .....	1
§ 1. 导言.....	1
§ 2. 库伦定律.....	3
§ 3. 安培定律和法拉第定律.....	6
§ 4. 麦克斯韦方程组.....	8
§ 5. 欧姆定律, 介电常数及磁感系数.....	13
§ 6. 能量守恒定律及坡印亭向量.....	17
§ 7. 电磁波.....	19
§ 8. 小结.....	22
<b>第二章 静电场及稳定电流的磁场</b> .....	24
§ 9. 静止情况, 分别观察静电现象和静磁现象的可能性.....	24
§ 10. 格临定理.....	26
§ 11. 稳定情况.....	35
§ 12. 媒质内的磁化现象.....	40
§ 13. 永久磁体的磁场.....	44
§ 14. 静电场和稳定电流磁场的能, 电位系数和磁感应系数.....	51
<b>第三章 不稳定情况</b> .....	63
§ 15. 不稳定情况下麦克斯韦方程组的解.....	63
§ 16. 赫兹问题.....	68
§ 17. 一个运动带电质点所产生的推迟势.....	72
§ 18. 在媒质中的不稳定电磁场, 切伦科夫辐射.....	77
* § 19. 一个高能带电质点在经过媒质时动能的丧失.....	84
§ 20. 一个运动电荷的电磁场在运动速度不等于常数时的准静止近似解.....	87
* § 21. 当电荷运动速度任意改变时的电磁场.....	92
§ 22. 不稳定情况下的格临定理.....	94
§ 23. 基尔霍夫公式, 物理光学的基础理论.....	98
<b>第四章 电磁场对电荷的作用和多极辐射</b> .....	103
§ 24. 张力和动量流密度的概念.....	103
§ 24a. 在真空中洛伦兹力的公式.....	106
§ 25. 一个电荷的电磁场对电荷本身的作用力.....	113

§ 26.	电磁波沿传播方向的压力	117
§ 27.	一个在库伦电场里作圆周运动的电荷所受到的阻尼力	120
§ 28.	一个作简谐振动的电荷所受到的阻尼力	123
§ 29.	光谱线的宽度	127
* § 30.	一个运动的电荷在碰撞时所产生的辐射	132
§ 31.	电多极矩和磁多极矩	136
§ 32.	电多极辐射和磁多极辐射	146
<b>第五章</b>	<b>电磁波在媒质或导体边界上的传播</b>	<b>154</b>
§ 33.	平面波的反射和折射	154
§ 34.	导电媒质中的折射	158
§ 35.	表面波, 趋肤效应	160
§ 36.	线路中有电阻、电容及电感时的似稳电流	165
* § 37.	在管壁为理想导电物质的管中电磁波的传播	170
<b>第六章</b>	<b>电子论</b>	<b>177</b>
§ 38.	由宏观到微观的推广	177
§ 39.	在媒质中的宏观麦克斯韦方程组	183
§ 40.	在媒质中的洛伦兹力	186
* § 41.	电介质的性质	194
* § 42.	电磁波在媒质中所产生的极化现象	201
* § 43.	物质的磁性	207
§ 44.	在运动媒质里电磁波的传播	216
<b>第七章</b>	<b>相对论</b>	<b>222</b>
§ 45.	正交变换	222
§ 46.	惯性坐标系, 斐索实验和迈克耳孙实验	226
§ 47.	爱因斯坦的理论	232
§ 48.	洛伦兹变换的物理意义	236
§ 49.	因果定律对相对性原理的限制	244
§ 50.	闵可斯基空间	247
§ 51.	在真空里的相对论电动力学	254
§ 52.	相对论力学	261
§ 53.	相对论对斐索实验的解释	265
§ 54.	电磁场的动量、能量和张力的张量	267
§ 55.	在闵可斯基空间的向量和张量	270
§ 56.	电动力学里的拉格朗日函数和哈密顿函数	274
* § 57.	电磁场的粒子性	285
* § 58.	关于电子“构造”的理论	289

(有 \* 号的代表可以略去不读的章节)

# 第一章 电磁现象的普遍定律

**§1. 引言** 自从十八世纪以来，人们通过工业和科学的实践对于电磁现象的认识逐步加深，并总结出电磁现象的基本规律。人们从实验结果总结出库伦定律，安培定律，法拉第定律，最后归结到麦克斯韦的基本方程组和洛伦兹力的公式。这些基本规律，都是在当时的实验条件下由宏观的电磁现象总结出来的最普遍定律。

在古典力学里，宏观实验所受到的限制，主要有两方面：一方面是我们所能控制或测量的速度，另一方面是我们对一个物理量能够测量的最小的空间区域。在古典力学里我们能够测量到的最快的速度，恐怕要算星体的速度了。地球的运动速度约为  $3 \times 10^6$  厘米/秒。可以说，牛顿力学是在速度不十分大于  $3 \times 10^6$  厘米/秒的范围内总结出来的运动规律。同样在以前的电磁实验里，我们很少观察过速度大于  $10^5$  厘米/秒的带电体。在一个有 10 安培电流的导体里，电荷运动的速度差不多只有  $10^{-3}$  厘米/秒。所以在实际上，我们建立起上面所提到的电磁现象的基本定律所依据的速度区域，比古典力学所依据的还要小得多。这是我们在引用电磁现象的实验定律时，必须注意到的一点。

其次，根据我们对实物的构造的认识，实物是由极微小的（大小约为  $10^{-5}$ — $10^{-8}$  厘米）分子和原子所组成的。我们在实验室所测量的电场和磁场强度，实际上是包含有千万个分子的区域以内的平均值。所以前面所述由实验总结出来的定律，只应看做在这个区域里“宏观的”物理量所遵守的规律，换句话说，这些定律只是由宏观的电磁现象的观察结果总结得来的，因此，这些定律就不一

定能够正确的描述在分子和原子内部的微观的电磁现象。

现在我们要问，应该怎样对待在上面所述的两个限制范围以外的电磁现象呢？在科学发展和认识获得过程中，我们必须不断地把我们在一个特殊的、在一定的条件下建立起来的自然规律推广到更普遍的情况里去，然后再把推广后所得的结果和实验比较。比较的结果不外乎两者之一：或者理论的结果与实验相合，这说明我们所总结出来的理论，实际上可以适用于一个更广泛的范围，或者理论的结果与实验不符，这样我们就可以修正我们的理论，而使理论适用于一个较广泛的范围。两种可能的结果都促使科学得到更进一步的发展。

电动力学的发展正是上面所述由实践总结出理论，再把理论推广应用于新的实践的科学发展过程。

下面我们将首先把麦克斯韦方程式和洛伦兹力的公式推广到高速度的区域里面去，我们将讨论高速度运动的电荷所产生的电磁场及一般的辐射问题。其次，我们将把麦克斯韦方程式和洛伦兹力的公式推广到分子和原子的区域里面去，这方面的发展是洛伦兹的电子论，以及物质吸收和散射光波的现象。我们将发现麦克斯韦和洛伦兹的理论在微观区域里并不完全适用，因此就产生了更普遍的相对论理论和量子电动力学。古典动力学的规律可以看做是相对论理论和量子电动力学在某些特殊条件下的一种近似的规律。

在电动力学的发展过程中，人们将逐步地认识到电场和磁场也具有在牛顿力学里只有实物才具有的力学性质。我们将通过场的运动，场的能量，场的动量，场与实物间的作用，和不同部分的场间的相互作用，看到电磁场的确是和实物一样的力学体系。而使读者充分地、透彻地而且逐步地认识这一点，则是本书的中心思想。进一步认识到实物也具有场的性质而使“实物”与“场”得到更

高形式的統一，則是量子理論的基本內容。

[討論題] 我們应当怎樣由已知的物理常數估計出在導體內電子的速度？在打電話時，一個人的聲音可以很快地傳到幾千里以外，這怎樣解釋？

**§ 2. 庫倫定律** 這是最早由實驗材料總結出來的一個定律。這個定律可以敘述如下：如果在真空裡有兩個點電荷  $q_1$  和  $q_2$ ，它們間的距離為  $r_{12}$ ，則  $q_1$  和  $q_2$  間的排斥力為：

$$F \propto \frac{q_1 q_2}{r_{12}^2},$$

如果我們適當地選取  $q_1, q_2$  的單位，上式可寫成

$$F = \frac{q_1 q_2}{r_{12}^2}. \quad (1)$$

命  $\mathbf{r}_{12}$  為從  $q_1$  指向  $q_2$  長度為  $r_{12}$  的向量， $q_1$  作用於  $q_2$  的力為

$$\mathbf{F} = \frac{q_1 q_2 \mathbf{r}_{12}}{r_{12}^3}. \quad (2)$$

為着便於運算起見，我們引入電場的概念。點電荷  $q_1$  在距  $q_1$  為  $r$  處的電場強度  $\mathbf{E}$  為

$$\mathbf{E} = \frac{q_1 \mathbf{r}}{r^3} \quad (\mathbf{r} = \mathbf{r}_{12}). \quad (3)$$

比較(2)、(3)兩式我們得

$$\mathbf{F} = q_2 \mathbf{E}. \quad (4)$$

由(3)式，我們很容易證明高斯定律：

$$\oiint \mathbf{E} \cdot d\boldsymbol{\sigma} = 4\pi q_1. \quad (5)$$

(5)式左邊代表沿着封閉面  $\sigma$  的積分， $d\boldsymbol{\sigma} \equiv \mathbf{n} d\sigma$ ， $\mathbf{n}$  是垂直於  $d\sigma$  指向封閉面  $\sigma$  外面的單位向量。我們很容易由力的疊加原則推廣(5)式為：

$$\oiint \mathbf{E} \cdot d\boldsymbol{\sigma} = 4\pi \iiint \rho d\tau. \quad (6)$$

上式右邊積分是對於封閉面所包容的體積  $\tau$  進行積分， $\rho$  是電荷密度，(6)式是在真空裡麥克斯韋方程組的第一個方程式。



在普遍情况下, (3)式应换为:

$$\mathbf{E} = \iiint \frac{\rho \mathbf{r}}{r^3} d\tau. \quad (6a)$$

(6a)式可以看做是在最普遍情况下由库伦定律所决定的  $\mathbf{E}$  与电荷分布  $\rho$  这两个观察量之间的关系。这个普遍情况甚至包括有媒质存在时的情况。在有媒质存在时,  $\tau$  内的电荷密度包括两部分, 一部分是原来存在的所谓“自由电荷”密度  $\rho_f$ , 另外一部分是媒质因受感应而产生的极化电荷密度  $\rho_p$ 。对于媒质内的极化现象, 我们可以引入满足下式的向量  $\mathbf{P}$ :

$$\oiint \mathbf{P} \cdot d\boldsymbol{\sigma} = - \iiint \rho_p d\tau, \quad (7)$$

式中的积分是对整个空间的积分。注意  $\rho = \rho_f + \rho_p$ , 并代以(6)式及(7)式, 我们得

$$\oiint (\mathbf{E} + 4\pi\mathbf{P}) \cdot d\boldsymbol{\sigma} = 4\pi \iiint \rho_f d\tau. \quad (8)$$

命  $\mathbf{D} = \mathbf{E} + 4\pi\mathbf{P}$ , 得

$$\oiint \mathbf{D} \cdot d\boldsymbol{\sigma} = 4\pi \iiint \rho_f d\tau. \quad (9)$$

当库伦定律由(6)式表达时, (7)式和(9)式可看做  $\mathbf{P}$  和  $\mathbf{D}$  的定义。实验上  $\mathbf{D}$  和  $\mathbf{P}$  的决定, 是和我们分辨出在  $\tau$  内电荷密度  $\rho$  的  $\rho_f$  和  $\rho_p$  部分的能力分不开的。(9)式也可以代替(6)式作为麦克斯韦方程组的第一个方程式。

在有媒质存在时,  $\mathbf{D}$ 和 $\mathbf{E}$ 的区别虽然只不过是分辨  $\rho_f$  和  $\rho_p$  的问题, 但力的问题则是一个较为复杂的问题。对力问题的解决, 有赖于我们对媒质结构的了解。我们将在后面洛伦兹电子论(即解释媒质结构的理论)一章里讨论这个问题。在本章里我们将一概不讨论力的问题。

根据上面定义,  $\mathbf{D}$  是满足(9)式的理论物理量。(9)式中的积分面  $\sigma$  是任一个封闭曲面。我们必须认识到(9)式是一个很强的

条件,差不多已經可以完全決定  $\mathbf{D}$ 。为着說明这一点,我們討論一个单独的球形导体在带电时所产生的  $\mathbf{D}$ 。在这情形下,  $\mathbf{D}$  对球形中点是賦有球对称性的。如取以球形中点为中心,以  $r$  为半徑 ( $r$  大于导体的半徑) 的球面为积分曲面,我們得

$$\oiint \mathbf{D} \cdot d\boldsymbol{\sigma} = 4\pi r^2 |\mathbf{D}|,$$

代入(9)式,得

$$|\mathbf{D}| = \frac{1}{r^2} \iiint \rho_f dr. \quad (10)$$

$\mathbf{D}$  显然与  $\mathbf{r}$  平行。可見在这个特例里, (9) 式已完全決定  $\mathbf{D}$ 。

对于任何一个有意义的物理量, 我們必須能够确定一个测量这个物理量的方法。在真空中,  $\mathbf{E}$  可由测量一个探测电荷所受到的力来决定。但在测量媒质中的  $\mathbf{E}$  时, 情形就较为复杂。前面已經指出, 在媒质里作用的力是一个相当复杂的问题。但对  $\mathbf{E}$  的测量仍可由下述方式进行。我們可以在媒质內挖出一个細长圆柱形的空腔。如果这个小圆柱体是沿着  $\mathbf{E}$  的方向, 那末在圆柱的上下底面就要产生极化电荷。如果圆柱极細极长, 这个极化电荷在圆柱的中点  $P$  所产生的影响可以忽略不計。这样, 由(6a)式計算出来的  $\mathbf{E}$  值, 和挖出圆柱体以前的值是一样的。在挖出圆柱空腔以后, 由于所挖的空腔实际上保证了下面两个测量的条件: 第一, 它使探测电荷不受媒质机械力的作用; 第二, 使空腔的存在不改变  $P$  点的电場, 所以这样测出的  $\mathbf{E}$  是单位探测电荷所受到的純电場的力。因此,  $P$  点的  $\mathbf{E}$  就可由探测电荷所受的力来决定, 而这样测出的  $\mathbf{E}$  正是在媒质內圆柱体沒有挖出以前  $P$  点的  $\mathbf{E}$  值。

对于固体, 上面测量  $\mathbf{E}$  的方法是实际可行的, 但如媒质是液体或气体, 这样的测量方法是不可能实行的。但我們指出, 現在所产生的困难完全是属于机械范圍內, 而不是属于电磁現象的范圍

以內的。上面所述的理想化測量方法，只不过是為着明确  $\mathbf{E}$  在实验測量上的意义。实际上的測量还須由其他間接的方法来測定。但是这些間接測量必須依上面所述  $\mathbf{E}$  在測量上的意义为根据。

[討論題] 試設計出測量媒质中任一点的  $\mathbf{D}$  和  $\mathbf{P}$  的理想方法。

**§3. 安培定律和法拉第定律** 如果在一根导綫里，有稳定的电流  $i$  通过，則在导綫的周圍有磁場产生。实验证实磁感  $\mathbf{B}$  与  $i$  滿足下面安培定律：

$$\oint \mathbf{B} \cdot d\mathbf{s} \propto i,$$

上式左边积分是沿着一个圍繞着  $i$  的封閉曲綫的积分。如果我們选取电磁单位(关于单位問題，下面将再会討論到)作为  $B$  的单位，靜电单位作为  $i$  的单位則上式可写成：

$$\oint \mathbf{B} \cdot d\mathbf{s} = \frac{4\pi}{c} i. \quad (1)$$

根据力的叠加原則，我們看出在普遍情况下(1)式应換为：

$$\oint \mathbf{B} \cdot d\mathbf{s} = \frac{4\pi}{c} \iint \mathbf{j} \cdot d\boldsymbol{\sigma}, \quad (2)$$

式中  $\mathbf{j}$  为电流密度， $c$  为光速，右边的面积分是沿着由封閉曲綫所环绕成的面积的积分。

在有媒质存在时， $\mathbf{j}$  也可分成两部分：一部分是原来存在的“自由电流”密度  $\mathbf{j}_f$ ，另外一部分是在媒质內所产生的极化电流密度  $\mathbf{j}_M$ 。我們可以引入一个向量  $\mathbf{M}$  来描写媒质內所产生的极化現象， $\mathbf{M}$  的定义为：

$$\oint \mathbf{M} \cdot d\mathbf{s} = \frac{1}{c} \iint \mathbf{j}_M \cdot d\boldsymbol{\sigma}. \quad (3)$$

代入(2)式，得

$$\oint (\mathbf{B} - 4\pi\mathbf{M}) \cdot d\mathbf{s} = \frac{4\pi}{c} \iint \mathbf{j}_f \cdot d\boldsymbol{\sigma}.$$

命  $\mathbf{H} = \mathbf{B} - 4\pi\mathbf{M}$ ，上式变为

$$\oint \mathbf{H} \cdot d\mathbf{s} = \frac{4\pi}{c} \iint \mathbf{j}_j \cdot d\boldsymbol{\sigma}. \quad (4)$$

現在我們指出, (4) 式和上节的 (6) 式並沒有完全地决定了  $\mathbf{E}$  和  $\mathbf{H}$ 。我們很容易证明, 如果  $\mathbf{E}$  和  $\mathbf{H}$  滿足 (4) 式和上节的 (6) 式, 那么  $\mathbf{E} + \nabla \times \omega$  和  $\mathbf{H} + \nabla \chi$  ( $\omega, \chi$  是  $x, y, z$  底任意函数) 同样也滿足上两式, 因为

$$\begin{aligned} \oiint \nabla \times \omega \cdot d\boldsymbol{\sigma} &= \iiint \nabla \cdot \nabla \times \omega d\tau = 0, \\ \oint \nabla \chi \cdot d\mathbf{s} &= \iint (\nabla \times \nabla \chi) \cdot d\boldsymbol{\sigma} = 0. \end{aligned}$$

为了进一步完全确定  $\mathbf{E}$  和  $\mathbf{H}$ , 我們必須利用下面两个实验定律:

高斯关于磁場的定律:

$$\oiint \mathbf{B} \cdot d\boldsymbol{\sigma} = 0; \quad (5)$$

法拉第定律:

$$\oint \mathbf{E} \cdot d\mathbf{s} = -\frac{1}{c} \iint \frac{\partial \mathbf{B}}{\partial t} \cdot d\boldsymbol{\sigma}. \quad (6)$$

(1)、(4)、(5)、(6) 四式和上节的 (9) 式

$$\oiint \mathbf{D} \cdot d\boldsymbol{\sigma} = 4\pi \iiint \rho_f d\tau, \quad (7)$$

以及上节的 (6) 式

$$\oiint \mathbf{E} \cdot d\boldsymbol{\sigma} = 4\pi \iiint \rho d\tau, \quad (8)$$

是由电磁现象总结出来的全部定律。对于某些媒质  $\mathbf{D}$  和  $\mathbf{E}$  間以及  $\mathbf{B}$  和  $\mathbf{H}$  間还存在下面两个实验上证实的关系:

$$\mathbf{B} = \mu \mathbf{H}, \quad (9)$$

$$\mathbf{D} = \kappa \mathbf{E}. \quad (10)$$

所以我們也可把基本定律写成下面形式:

$$\oiint \mathbf{D} \cdot d\boldsymbol{\sigma} = 4\pi \iiint \rho_f d\tau, \quad (7)$$

$$\oiint \mathbf{B} \cdot d\boldsymbol{\sigma} = 0, \quad (5)$$

$$\oint \mathbf{E} \cdot d\mathbf{s} = -\frac{1}{c} \iint \left[ \frac{\partial \mathbf{B}}{\partial t} \right] \cdot d\boldsymbol{\sigma}, \quad (6)$$

$$\oint \mathbf{H} \cdot d\mathbf{s} = \frac{4\pi}{c} \iint \mathbf{j}_f \cdot d\boldsymbol{\sigma}, \quad (4)$$

$$\mathbf{B} = \mu \mathbf{H}, \quad (9)$$

$$\mathbf{D} = \kappa \mathbf{E}. \quad (10)$$

上面六个公式可以看作是互相独立的。当然我们可以把(7)式换成(8)式,或把(4)式换成(1)式。在习惯上,我们只让自由电荷和自由电流在基本方程式里出现,所以我们在上面六个式子里用(7)式和(4)式,而不用(8)式和(1)式。

为着测量媒质中的  $\mathbf{B}$ , 我们可以在垂直于  $\mathbf{B}$  的方向挖一个圆盘形的空腔。当圆盘极薄时,在空腔中心  $P$  点的  $\mathbf{B}$  将不因空腔的存在而改变。在  $P$  点的单位探测“磁极”也将不受到媒质的机械力。 $\mathbf{B}$  即为这个磁极所受到的纯磁场的力。在这个意义上,  $\mathbf{B}$  是和  $\mathbf{E}$  相当的。

[讨论题] 试设计一个测量媒质中  $\mathbf{M}$  和  $\mathbf{H}$  的理想实验并加以说明。

§4. 麦克斯韦方程组 上节中的(7)式是由静电场总结出来的定律,(5)式和(4)式是由稳定电流的磁场总结出来的定律,而(6)式则是由不稳定的电磁现象总结出来的定律。所以上面各定律的适用范围是不一样的。现在我们必须找出在不稳定电磁现象里,(7)、(5)和(4)三式应如何修正。麦克斯韦假定(7)式和(5)式在不稳定情况下也是正确的,但他从理论上的考虑,认为在不稳定情况下(4)式应换为:

$$\oint \mathbf{H} \cdot d\mathbf{s} = \frac{1}{c} \iint \left[ \frac{\partial \mathbf{D}}{\partial t} + 4\pi \mathbf{j}_f \right] \cdot d\boldsymbol{\sigma}.$$

这样,在不稳定的情况下(即在最普遍的情况下)描写电磁现象的整套方程式为:

$$\begin{aligned}
 \oiint \mathbf{D} \cdot d\boldsymbol{\sigma} &= 4\pi \iiint \rho_f d\tau, \\
 \oiint \mathbf{B} \cdot d\boldsymbol{\sigma} &= 0, \\
 \oint \mathbf{E} \cdot d\mathbf{s} &= -\frac{1}{c} \iint \left[ \frac{\partial \mathbf{B}}{\partial t} \cdot d\boldsymbol{\sigma} \right], \\
 \oint \mathbf{H} \cdot d\mathbf{s} &= \frac{1}{c} \iint \left[ \frac{\partial \mathbf{D}}{\partial t} + 4\pi \mathbf{j}_f \right] \cdot d\boldsymbol{\sigma}.
 \end{aligned} \tag{1}$$

麦克斯韦的工作对旧有的电磁现象的理论作了一个重要的推广。他把原来在较特殊的情况下建立起来的定律推广到较一般的情况里去。推广之后是否正确，必须由新的实验证实。这些新的实验主要是关于电磁波的经验。因麦克斯韦从他的新方程里预见了电磁波的存在。这种波的存在，后来由赫兹完全证实。麦克斯韦并指出光波也是电磁波的一种，这种理论后来也由实验完全证实是正确的。

(1)是麦克斯韦方程组的积分形式。应用高斯定理和斯托克斯定理，我们可以把(1)式化为微分形式。假定  $\mathbf{F}$  是一个比较正规的函数，这两个定理为：

$$\begin{aligned}
 \oiint \mathbf{F} \cdot d\boldsymbol{\sigma} &= \iiint \nabla \cdot \mathbf{F} d\tau, \\
 \oint \mathbf{F} \cdot d\mathbf{s} &= \iint (\nabla \times \mathbf{F}) \cdot d\boldsymbol{\sigma}.
 \end{aligned}$$

应用上两式，我们很容易由(1)得到

$$\begin{aligned}
 \nabla \cdot \mathbf{D} &= 4\pi \rho_f, \\
 \nabla \cdot \mathbf{B} &= 0, \\
 \nabla \times \mathbf{E} &= -\frac{1}{c} \frac{\partial \mathbf{B}}{\partial t}, \\
 \nabla \times \mathbf{H} &= \frac{1}{c} \frac{\partial \mathbf{D}}{\partial t} + \frac{4\pi}{c} \mathbf{j}_f.
 \end{aligned} \tag{2}$$

这是麦克斯韦方程组的微分形式。相反，我们也可以从(2)式得回

(1)式, 所以我們說(1)式和(2)式是完全相等的。

在(2)式中出現的所有物理量, 在原則上都是可以直接观察的。当沒有媒质存在时,  $\mathbf{D}=\mathbf{E}, \mathbf{H}=\mathbf{B}$ , (2)式变为

$$\begin{aligned}\nabla \cdot \mathbf{E} &= 4\pi\rho_f, \\ \nabla \cdot \mathbf{B} &= 0, \\ \nabla \times \mathbf{E} &= -\frac{1}{c} \frac{\partial \mathbf{B}}{\partial t}, \\ \nabla \times \mathbf{B} &= \frac{1}{c} \frac{\partial \mathbf{E}}{\partial t} + \frac{4\pi}{c} \mathbf{j}_f.\end{aligned}\tag{2a}$$

当有媒质存在时, (2)式可写为

$$\begin{aligned}\nabla \cdot \mathbf{E} &= 4\pi\rho_f - 4\pi\nabla \cdot \mathbf{P}, \\ \nabla \cdot \mathbf{B} &= 0, \\ \nabla \times \mathbf{E} &= -\frac{1}{c} \frac{\partial \mathbf{B}}{\partial t}, \\ \nabla \times \mathbf{B} &= \frac{1}{c} \frac{\partial \mathbf{E}}{\partial t} + \frac{4\pi}{c} \mathbf{j}_f + 4\pi\nabla \times \mathbf{M} + \\ &\quad + \frac{4\pi}{c} \frac{\partial \mathbf{P}}{\partial t}.\end{aligned}\tag{2b}$$

比較(2a)和(2b)我們看到, 媒质对电磁場的影响只是通过它的极化电荷  $-\nabla \cdot \mathbf{P}$  和极化及磁感电流  $c\nabla \times \mathbf{M} + \frac{\partial \mathbf{P}}{\partial t}$  产生的。这个电荷和电流分布可由  $\mathbf{P}$  和  $\mathbf{M}$  完全决定。只有当决定  $\mathbf{P}$  和  $\mathbf{M}$  与  $\mathbf{E}$  和  $\mathbf{B}$  的关系时, 人們才需要知道媒质本身的电磁結構。由于  $\mathbf{P}$  和  $\mathbf{M}$  是可直接观察的量, 在人們对于媒质的性质未了解以前, 可以把(2)看作是  $\mathbf{E}, \mathbf{B}, \mathbf{P}, \mathbf{M}, \rho_f$  和  $\mathbf{j}_f$  之間存在的实验定律。这說明(2)式是电磁现象的一个普遍的实验規律, 它的正确性是与有没有媒质存在以及媒质的具体性质毫无关系的。

作为(1)式的简单应用, 我們計算两种不同媒质交界处  $\mathbf{D}$  和  $\mathbf{E}$  的情况。我們做一个圆柱体小盒状封閉面如图 1。假定盒的高度

很小，而且盒的上下两底平行于媒质的交界面，并分在不同媒质内。媒质底交界处不可能带有自由电荷，应用(1)式中第一式，我们立刻得到

$$D_n - D'_n = 0, \quad (3)$$

$D$ ,  $D'$  是在交界面两侧的电位移， $D_n$  和  $D'_n$  是它们沿着交界面法线方向的分量。上式说明在通过不同媒质时，垂直于分界面的  $D$  的分量是连续的。

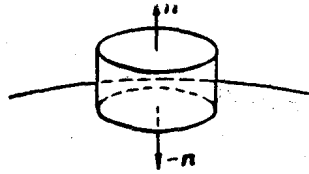


图 1.

同样，如果我们作一个小长方形的封闭曲线，如图 2 所示，图中有上下两根

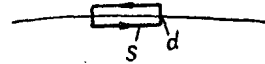


图 2.

线段，长度各为  $s$ ，分别在不同媒质内并且平行于交界面。穿过交界面的两根线段长度各为  $d$ ， $d$  的值很小。应用(1)式的第三式，得

$$(E_s - E'_s)s = -\frac{1}{c} \left( \frac{\partial B}{\partial t} \right)_n sd. \quad (4)$$

$E_s$  和  $E'_s$  是两种媒质中电场强度沿交界面的分量。消去两边的  $s$ ，再令  $d$  趋于零，我们得

$$E_s = E'_s, \quad (5)$$

即在通过不同媒质时，切线方向的  $E$  是连续的。

用同样方法，我们可由(1)式中第二、第四两式证明

$$\begin{aligned} B_n &= B'_n, \\ H_s &= H'_s, \end{aligned} \quad (6)$$

即  $B$  垂直于交界面的分量和  $H$  平行于交界面的分量在交界面的两侧是连续的。

在两种媒质的交界面上一般是有极化电荷和极化电流存在的。我们很容易由上节中的(1)式和(8)式证明：

$$E_n - E'_n = 4\pi\omega_p, \quad (7)$$



$$B_s - B'_s = \frac{4\pi}{c} \pi_M, \quad (8)$$

式中  $\omega_P$  是单位交界面上所带有的极化电荷,  $\pi_M$  是单位交界面上极化电流垂直于图 2 所示矩形面的分量。

上面结果原则上也可由微分形式的麦克斯韦方程组(2)得出。但在计算中两媒质交界处所有物理量的变化都必须看成是连续的, 这样就使得计算变得很复杂。

[习题] 试计算  $H_n - H'_n$  和  $D_s - D'_s$  的值。

在上面公式里我们所用的单位是高斯单位系统, 除了这个单位系统外, 在电动力学里常用的尚有洛伦兹-亥维赛单位系统和乔吉(Giorgi)单位系统。现在我们把它们简单地介绍如下:

(1) 高斯单位系统 凡是属于电现象的物理量都用静电单位, 如  $j, \rho, E, D$  等。凡是属于磁现象的都用电磁单位, 如  $B$  和  $H$ 。

(2) 洛伦兹-亥维赛单位系统 这个单位系统的引入是为了要去掉(1)式中  $4\pi$  这个因子, 而使得电和磁两种现象中的定律在形式上更为对称。由高斯单位系统得到洛伦兹-亥维赛单位系统的方法是: 凡属于电荷和“磁荷”的量如  $q, \rho, P, M$  等, 洛伦兹-亥维赛单位都比高斯单位小  $\sqrt{4\pi}$  倍, 即  $\rho_{L.H.} = \sqrt{4\pi} \rho_G$  等等。凡是属于电场或磁场的量如  $B, H, D, E$  等, 洛伦兹-亥维赛单位都比高斯单位大  $\sqrt{4\pi}$  倍, 即  $E_{L.H.} = E_G / \sqrt{4\pi}$  等等。在这个单位系统里, 麦克斯韦方程组应写为:

$$\oiint D \cdot d\sigma = \iiint \rho_f d\tau, \quad \oiint B \cdot d\sigma = 0, \quad (9)$$

$$\oint H \cdot ds = \frac{1}{c} \iiint \left[ \frac{\partial D}{\partial t} + j_f \right] \cdot d\sigma, \quad \oint E \cdot ds = -\frac{1}{c} \iiint \frac{\partial B}{\partial t} \cdot d\sigma$$

(3) 乔吉单位系统 这个单位系统的好处是它包有实用单位如“库伦”、“安培”等等。而且还保存洛伦兹-亥维赛系统里麦克斯韦方程组对电和磁的对称性。可是  $D$  和  $E$  的单位不一样,  $H$  和  $B$